

Elektronische Struktur der Oberfläche

- ultra violett photoionisation spektroskopie UPS

Beispiel Cs Filz

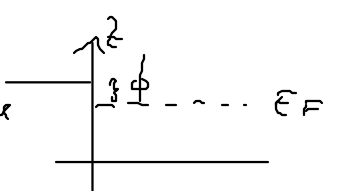
- 1 Zustand $5p_{z/2}$ wird erwartet
- ⇒ 2 Peaks treten auf von Oberfläche und Volumen der Probe

Oberflächenzustände

- Oberfläche hat ein anderes Potential wie Volumen

Sommerfeld-Modell

- Potential Werten $V(x) = \infty$ an Oberfläche



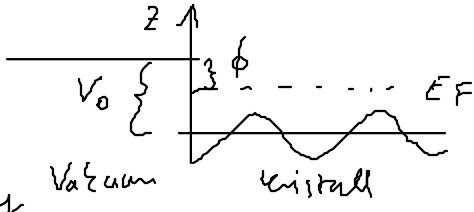
Quasi freie Elektronen im Potentialtopf

- $V(z) = V_0 + \sum V_g e^{igz}$ periodisches Potential mit Spieg. an Oberfl.

- Näherung $g = 2\pi \frac{u}{a}$ $u = \pm 1, \pm 2, \dots$ $V_0 = 0$

⇒ $V(z) = 2V_g \cos(2\pi \frac{z}{a})$

- ⇒ Bandbreite bei $k = \pm \frac{\pi}{a}$



- Lösung der Schrödingergleichung

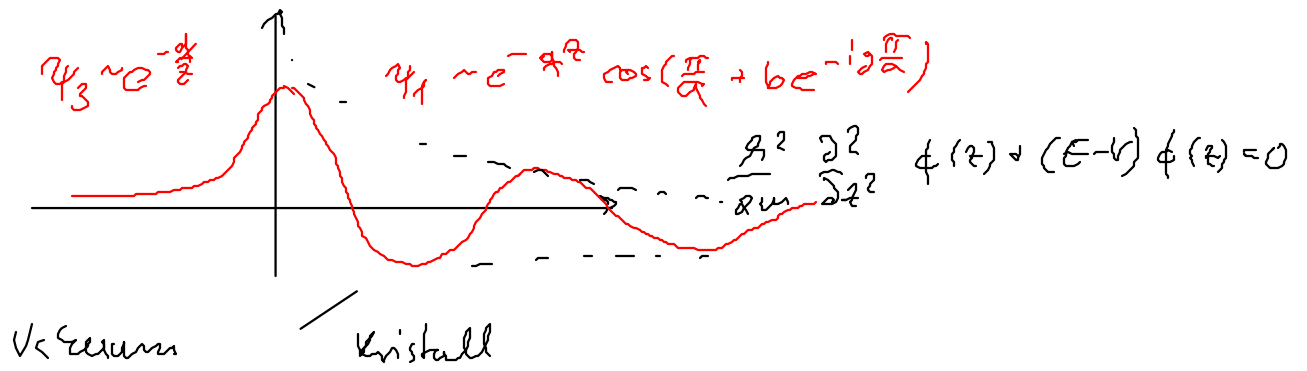
$\phi(z) = e^{ikz} (a + b e^{-ig \frac{z}{a}})$ $g = \frac{2\pi}{a}$ $k \approx \pm \frac{\pi}{a}$

mit $k = p \pm iq$ $p = \frac{\pi}{a}$

$\phi(z) = e^{i(p \pm iq)z} (a + b e^{-ig \frac{z}{a}})$

wenn $p = e^{i\delta}$ und $q = e^{-i\delta}$ nach δ

- Parameter an experimentelle Beobachtung anpassen



- Elektronen rasch 1 bis 2 Bjitterkonstanten über Grenzfläche hinaus
 => Oberfläche bündelt Elektronen

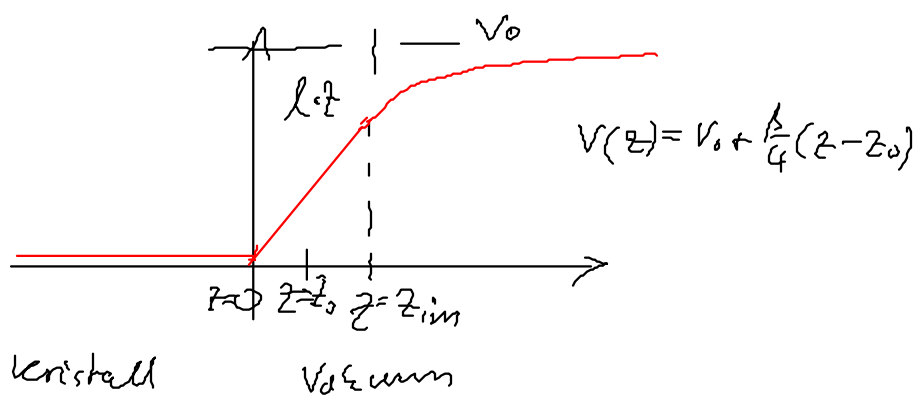
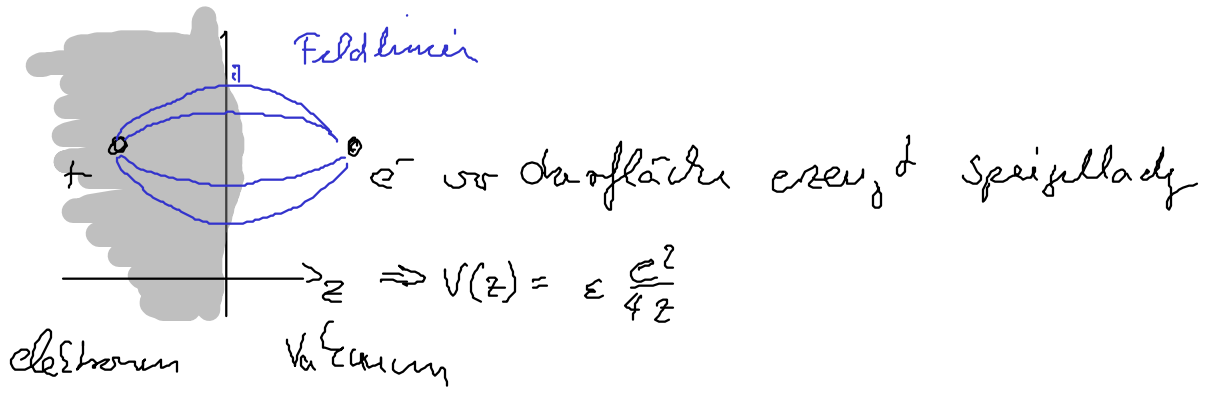
UPS

Messung der besetzten Oberflächenzustände

$$I_{\text{photoelektron}}(E_{\text{bind}}) \sim \text{DOS}(E_{\text{bind}})$$

=> zusätzlicher Zustand in der Bandlücke bei bestimmten
 Wellenl. Zustand ist von der Oberfläche.

Bildladungszustände



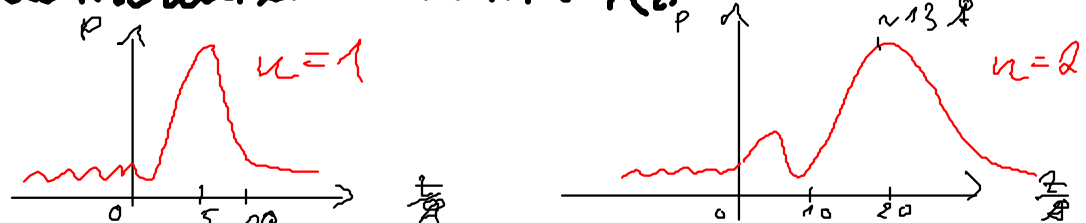
$$V_{\text{lin}}(z) = V_0 + \frac{1}{4}(z - z_0)$$

- Lösung der Energiegleichung

Energie der Zustände in der Bandlücke $E - V_0 = \frac{1}{4} a^2$

$$E(u) = V_0 - \frac{0,85 \text{ eV}}{(u + 0,2)^2} \quad u = 1, 2, 3, \dots \quad a = u + 0,2$$

Wahrscheinlichkeitsdichte $P(z)$



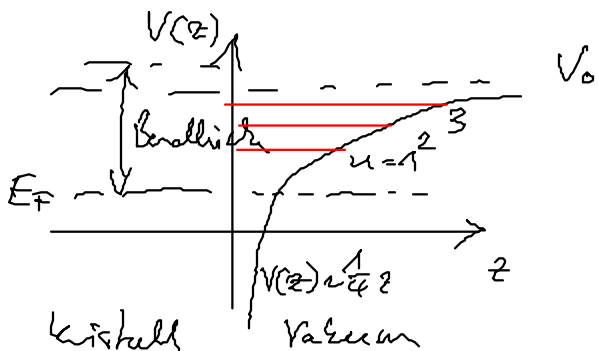
⇒ Wasserstoffartiges Energiespektrum $E(n)$
 nicht alle Zustände in Bandlücke gesetzt

• Airy Funktion für $z < z_{im}$

$$\phi_R(z) = c_2 A_1(z) + c_3 B_1(z)$$

• Whittaker-Funktionen $z > z_{im}$

$$\phi_{im}(\xi) = c_n W_{\alpha, \beta}(\xi)$$



⇒ Oberfläche fürst Senken, die mit Oberfläche reagieren können

⇒ je höher $n \Rightarrow$ in weiterer Entfernung von Oberfl. nach Potential

Schichten-Zustände

Z.B. Goldfilm auf Metalloberfläche (Gegenwärtig auf 1 Atom)

• Schichtdicke $L = ma$ $m \in \mathbb{N}$

• Elektronen in Schicht interagieren mit sich selbst wenn $L \approx n \cdot \lambda$

⇒ Teilchen im Kästen, Elektronenströmung an Grenzflächen

⇒ Phasensverschiebung an Grenzflächen (ϕ_B an Substrat, ϕ_C am Vakuum)

$$\phi_B + \phi_C + 2ma\kappa = 2\pi n$$

LDA approximation zur Lösung

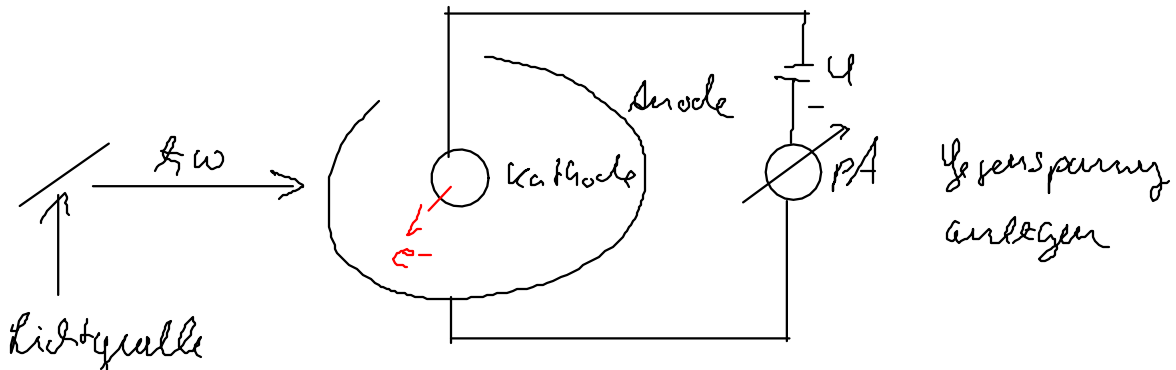
DOS $\hat{=}$ Zustandsdichte (density of states)

Photoelektronenspektroskopie EPS

• Photoeffekt um Zustände an Oberfl. und im Vakuum zu finden

• H. Herz 1887

Monochromatisches Licht auf beschichtete Vakuumkugel



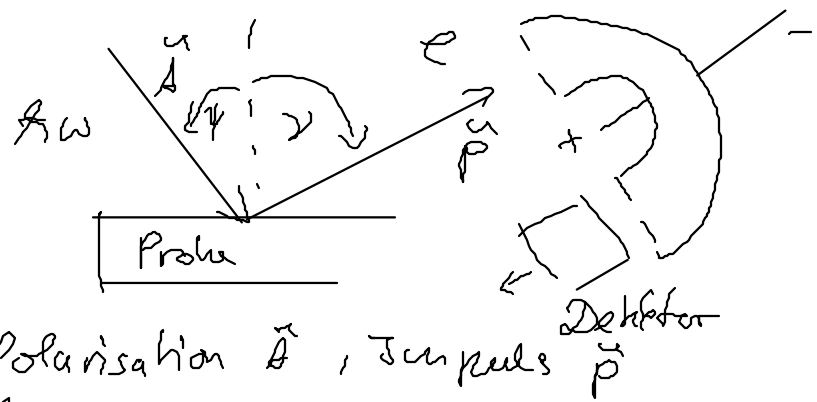
\$\Rightarrow\$ Messbarkeit von \$\phi\$ und Plancksche Konstante \$h\$

$$E_{kin} = h\omega - \phi$$

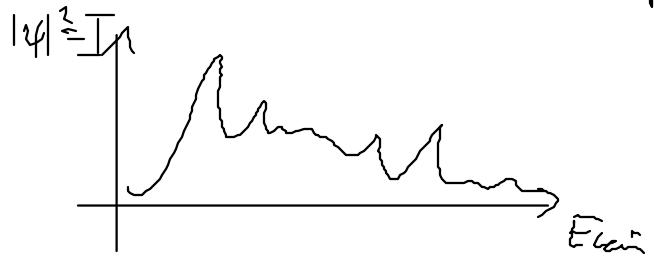
$$eU_{max} = E_{kin}$$

} Einstein 1905

• hier:



Polarisation \$\vec{A}\$, Impuls \$\vec{p}\$



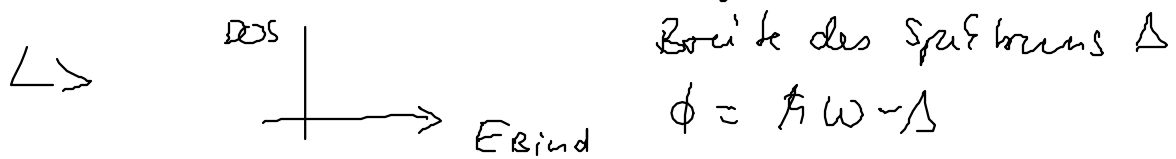
- Messung Energie des Elektrons (aus Impuls)
- Energie der Photonen bekannt
- \$\Rightarrow\$ Energie des Elektrons im Festkörper \$E_{Bind}\$

$$E = h\omega - \phi \quad \text{maximale } U_{max}$$

• Vakuum: \$E_{kin} = 0\$

$$E_{kin} = h\omega - \phi - E_{Bind}$$

• \$E_F \hat{=}\$ höchst mögliche Energie im Metall



Theorie

N_e Elektronen $\xrightarrow{\hbar\omega}$ $N_e - 1 \stackrel{!}{=} \text{loch } e^+$

\Rightarrow Realisiert positive Ladung

Annahmen:

- Dauer der EPS ≈ 0
- keine WW zw Photoelektronen mit Substrat
- Photoionisation als schwache WW \Rightarrow Störungstheorie!

\Rightarrow Beobachtung: Elektron wird entfernt \Rightarrow starke WW?

\Rightarrow Übergangswahrscheinlichkeit: (Festkörper \rightarrow Vakuum)

$$W = \frac{2\pi}{\hbar} |\langle \psi_f | \Delta | \psi_i \rangle|^2 \delta(E_f - E_i - \hbar\omega)$$

$$\Delta \sim e^2 \frac{A_0}{\omega c}$$

A_0 : Amplitude des Feldes

Γ : Übergangsmatrixelement

\Rightarrow Koopman-Theorem $E_{Bk} = -\epsilon_k$